

**И. Н. Вишневский<sup>1</sup>, В. А. Желтоножский<sup>1</sup>, В. А. Плюйко<sup>2</sup>, А. Н. Саврасов<sup>1</sup>,  
А. Н. Горбаченко<sup>2</sup>, О. И. Давидовская<sup>1</sup>, Е. П. Ровенских<sup>2</sup>**

<sup>1</sup> Институт ядерных исследований НАН Украины, Киев

<sup>2</sup> Киевский национальный университет имени Тараса Шевченко, Киев

## ІЗОМЕРНІ ОТНОШЕННЯ І СРЕДНІ УГЛОВІ МОМЕНТИ ФРАГМЕНТОВ ФОТОДЕЛЕНИЯ $^{235}\text{U}$ , $^{237}\text{Np}$ И $^{239}\text{Pu}$

Измерены изомерные отношения выходов фрагментов фотоделения ядер  $^{235}\text{U}$ ,  $^{237}\text{Np}$  и  $^{239}\text{Pu}$  тормозными  $\gamma$ -квантами с граничной энергией 18 МэВ. Получены новые данные для выходов изомерных пар ядер  $^{84}\text{Br}$ ,  $^{90}\text{Rb}$ ,  $^{131}\text{Te}$ ,  $^{132}\text{Sb}$ ,  $^{132}\text{I}$ ,  $^{133}\text{Te}$ ,  $^{134}\text{I}$ ,  $^{135}\text{Xe}$ . Изомерные отношения определены с вычетом вклада заселенностей состояний исследуемых фрагментов от  $\beta$ -распада соответствующих изобарных ядер. Определены средние угловые моменты фрагментов деления в рамках обобщенной статистической модели Хьюзенга - Ванденбоша с использованием кода EMPIRE 3.2.

*Ключевые слова:* фотоделение, метод изомерных отношений, средние угловые моменты продуктов деления.

### Введение

Измерение отношения выходов ( $R$ ) (эффективных сечений образования) первичных ядерных осколков в высоко-спиновом состоянии (как правило, изомерном) и низко-спиновом состоянии (как правило, основном) является одним из основных методов получения информации о средних угловых моментах фрагментов деления, что позволяет уточнить динамику деления ядра [1 - 6].

Данные об изомерных отношениях продуктов деления также необходимы для решения ряда прикладных задач ядерной и радиационной физики. В частности, ядра-фрагменты вдали от линии  $\beta$ -стабильности часто имеют изомерные пары с периодами полураспада  $T_{1/2}$ , отличающимися на порядок и более. При этом данные о характеристиках состояний с  $T_{1/2} > 10$  с можно изучать измеряя  $\gamma$ -спектры, а для состояний с  $T_{1/2} \sim \text{мс}$  это сделать очень сложно. Однако с помощью данных по изомерным отношениям и  $\gamma$ -спектрам долгоживущего изомера можно оценить вклад в полную интенсивность  $\gamma$ -переходов от примеси короткоживущих изомеров, что является важным при анализе массовых распределений осколков деления.

Исследования, представленные в данной работе, являются продолжением изучения с помощью изомерных отношений средних угловых моментов осколков фотоделения, вызванного  $\gamma$ -квантами тормозного излучения с различными граничными энергиями ([7 - 9], и ссылки в [9]). Здесь представлены результаты исследования фотоделения нечетных трансурановых ядер  $^{235}\text{U}$ ,  $^{237}\text{Np}$  и  $^{239}\text{Pu}$  при граничной энергии  $\gamma$ -облучения  $E_e = 18$  МэВ. Такой выбор энергии обусловлен

тем, что в этом случае при фотоделении ожидается максимальный выход реакции ( $\gamma, nf$ ) и такая энергия  $E_e$  ниже порога реакции ( $\gamma, 2nf$ ) на этих ядрах.

На рис. 1 показаны схемы распада осколков деления  $^{84}\text{Br}$ ,  $^{90}\text{Rb}$ ,  $^{131}\text{Te}$ ,  $^{132}\text{Sb}$ ,  $^{132}\text{I}$ ,  $^{133}\text{Te}$ ,  $^{134}\text{I}$ ,  $^{135}\text{Xe}$ , для которых измерялись изомерные отношения. Видно, что во всех этих ядрах основной и изомерный уровни также заселяются за счет  $\beta$ -распада соответствующего материнского ядра их изобарной цепи. Очень часто значение заселенности за счет такой вторичной подпитки может на порядки превышать прямую заселенность основного и изомерного состояний ядра-фрагмента, образующегося после фотоделения и вылета мгновенных нейтронов. В данной работе изомерные отношения определены с вычетом вклада от  $\beta$ -распада родственных изобарных ядер в выходы исследуемых фрагментов.

### Методика и экспериментальные результаты

В исследованиях изомерных отношений, выполненных ранее, часто использовалась радиохимическая методика [10 - 12]. Как отмечалось выше, при делении происходит образование осколков деления, имеющих изомерные состояния изобарных ядер, которые позже заселяют изучаемые изомеры (см. рис. 1). В этом случае при использовании радиохимического метода корректный учет вторичной подпитки состояний исследуемых изомерных пар в первичных фрагментах деления невозможен, так как в зависимости от времени проведения радиохимического выделения данного изотопа (которое очень сложно контролировать) будет изменяться и доля

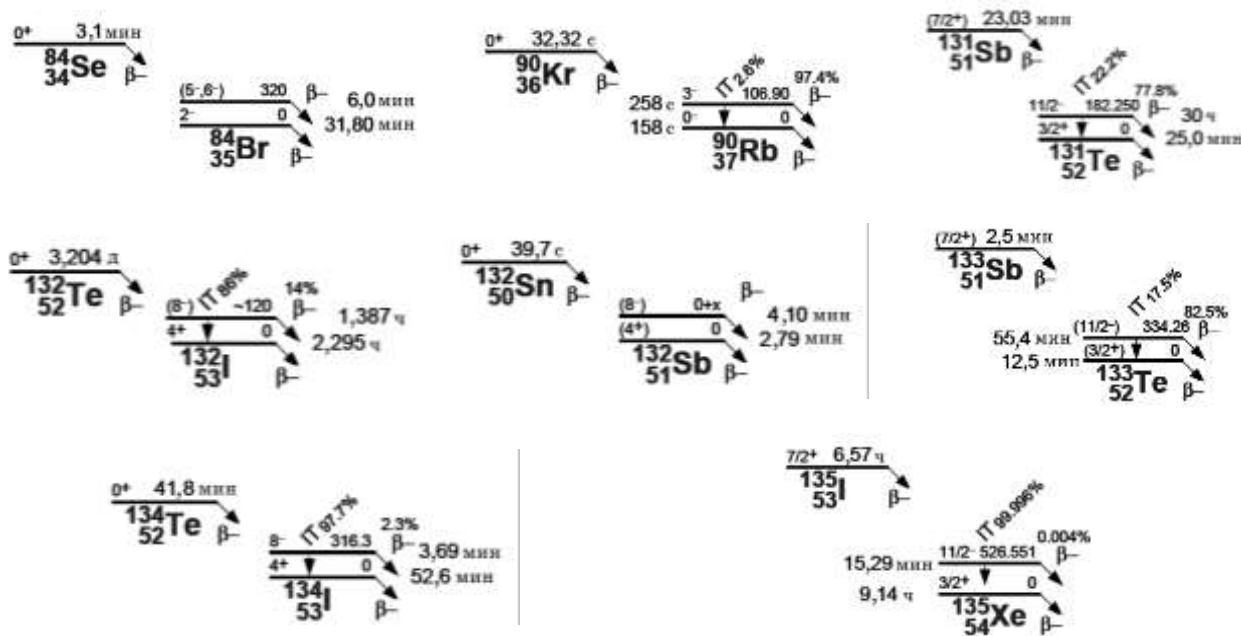


Рис. 1. Схемы распадов исследуемых ядер-фрагментов деления

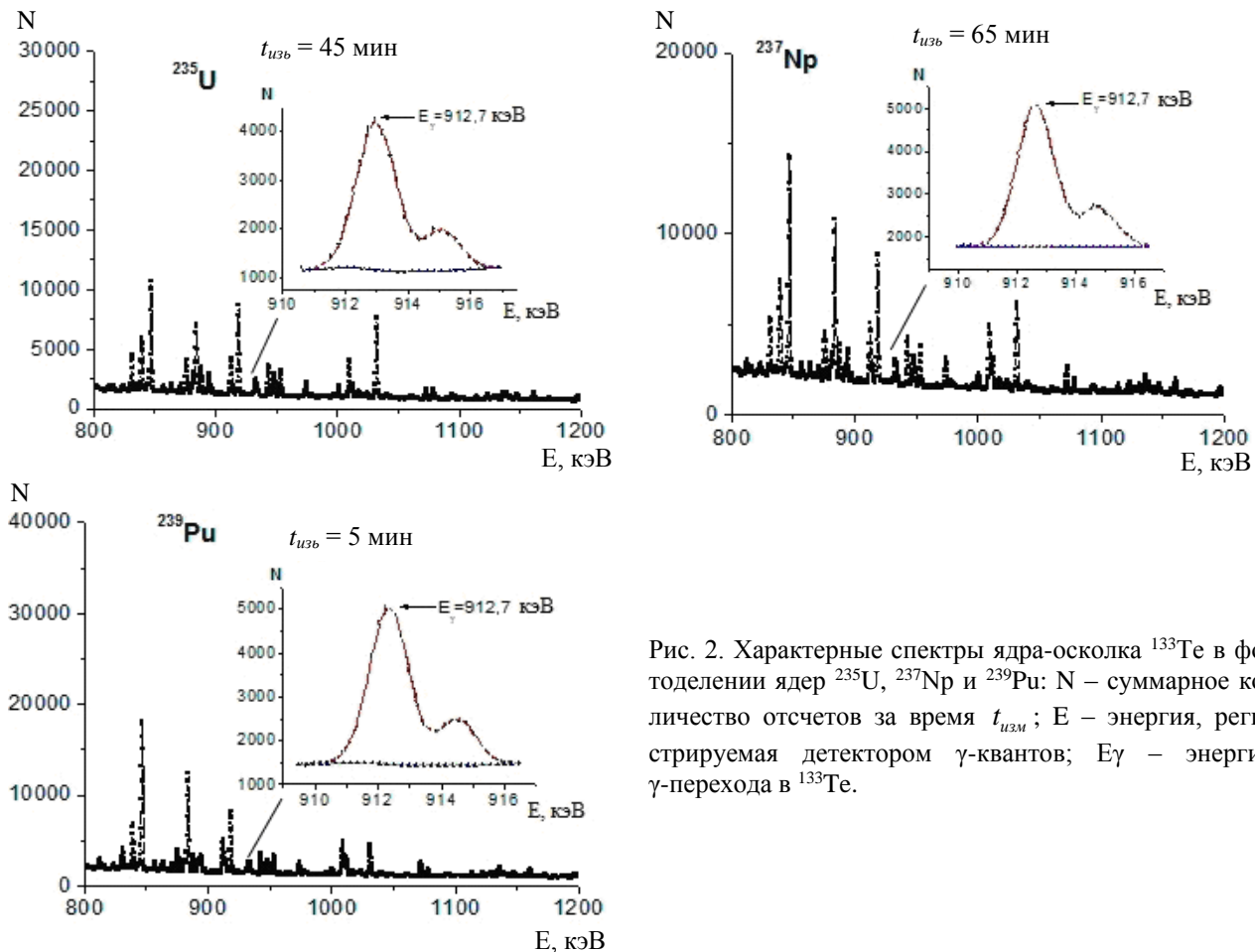


Рис. 2. Характерные спектры ядра-осколка  $^{133}\text{Te}$  в фотоделении ядер  $^{235}\text{U}$ ,  $^{237}\text{Np}$  и  $^{239}\text{Pu}$ : N – суммарное количество отсчетов за время  $t_{\text{изв}}$ ; E – энергия, регистрируемая детектором  $\gamma$ -квантов;  $E_\gamma$  – энергия  $\gamma$ -перехода в  $^{133}\text{Te}$ .

заселенности их состояний от  $\beta$ -распада родственных изобарных ядер. Кроме того, в радиохимической методике не учитывается вторичная подпитка состояний данного ядра от его изобара во время облучения. При соизмеримых временах облучения и периодов полураспада исследуемых

ядер эта величина может значительно превышать вероятность прямого заселения состояний изомеров в первичных фрагментах деления. Поэтому в данной работе измерения  $\gamma$ -спектров проводились сразу после облучения, а радиохимический метод не использовался. Вклад в заселен-

ность состояний изомерной пары от распада родственного изобарного ядра исключалась с помощью системы кинетических уравнений баланса заселенностей [13] с учетом известных значений периодов полураспада изобар (см. рис.1).

Для облучения использовались обогащенные изотопами мишени из U ( $^{235}\text{U}$  – 90 %,  $^{238}\text{U}$  – 10 %), Np ( $^{237}\text{Np}$  – 100 %) и Pu ( $^{239}\text{Pu}$  – 95,5 %,  $^{240}\text{Pu}$  – 4,5 %) массой 514, 853 и 400 мг соответственно. Мишени были упакованы в контейнеры из нержавеющей стали. Мишени облучались  $\gamma$ -квантами тормозного спектра электронов микротрона М-30 с максимальной энергией 18 МэВ (ИЭФ НАН Украины, Ужгород). В качестве тормозной мишени использовалась тонкая tantalовая мишень, поэтому спектр тормозного излучения имел вид спектра Шиффа. Облучение проводилось в течение времени  $t_{\text{обл}} = 5 - 10$  мин, а после времени охлаждения и транспортировки мишени  $t_{\text{окз}} = 15 - 20$  с за облучением начинались измерения. В измерениях использовались спектрометры на базе Ge-детекторов с разрешением 2,0 кэВ для  $\gamma$ -линии 1330 кэВ  $^{60}\text{Co}$ . Через каждые

60 с спектры записывались в течение всего времени измерения  $t_{\text{изм}}$ , которое составляло 1 - 2 ч. Для обработки спектров использовался пакет программ Winspectrum [14]. Анализ спектров проводился для различных продолжительностей пауз и времен измерений с учетом периодов полураспада изомеров и изобарного нуклида каждого осколка деления. Характерные спектры продуктов фотоделения  $^{235}\text{U}$ ,  $^{237}\text{Np}$  и  $^{239}\text{Pu}$  приведены на рис. 2.

Далее, используя полученные данные об интенсивностях  $\gamma$ -переходов и решая систему кинетических уравнений баланса заселенностей, находились экспериментальные значения изомерных отношений с вычетом вклада заселенностей от  $\beta$ -распада родственных изобарных ядер. Результаты приведены в табл. 1, где для сравнения представлены и значения изомерных отношений при фотоделении тормозными  $\gamma$ -квантами с граничной энергией 9,8 МэВ (при такой энергии деление происходит только через один канал  $(\gamma, f)$ ) [15].

**Таблица 1. Измеренные изомерные отношения выходов ядер  $^{84}\text{Br}$ ,  $^{90}\text{Rb}$ ,  $^{131}\text{Te}$ ,  $^{132}\text{Sb}$ ,  $^{132}\text{I}$ ,  $^{133}\text{Te}$ ,  $^{134}\text{I}$ ,  $^{135}\text{Xe}$**

Ядро	$^{235}\text{U}$		$^{237}\text{Np}$		$^{239}\text{Pu}$	
	18 МэВ	9,8 МэВ	18 МэВ	9,8 МэВ	18 МэВ	9,8 МэВ
$^{84}\text{Br}$	0,14(1)	-	0,15(1)	-	0,118(6)	-
$^{90}\text{Rb}$	-	-	1,2(2)	-	1,0(2)	-
$^{131}\text{Te}$	2,6(5)	-	1,9(3)	-	3,2(6)	0,44(5)
$^{132}\text{Sb}$	1,46(22)	0,58(6)	1,01(12)	-	1,48(16)	4,5(15)
$^{132}\text{I}$	2,2(4)	-	0,95(15)	-	0,51(6)	-
$^{133}\text{Te}$	4,3(3)	2,3(3)	9,0(9)	1,8(2)	5,3(3)	2,6(3)
$^{134}\text{I}$	0,58(9)	0,49(5)	-	2,7(2)	1,26(25)	0,96(10)
$^{135}\text{Xe}$	0,056(7)	0,142(14)	0,041(6)	0,18(2)	0,066(7)	0,42(4)

**П р и м е ч а н и е.** В скобках указаны статистические погрешности измерений. Цифры в скобках относятся к последним значащим цифрам средних значений.

### Средние угловые моменты и обсуждение результатов

Экспериментальные данные об изомерных отношениях были использованы для определения распределений  $P(J)$  вероятности заселения уровней с угловым моментом  $J$  и средних угловых моментов  $\bar{J}$  первичных осколков фотоделения (в единицах  $\hbar$ ):

$$\bar{J} = \sum_J J P(J) / \sum_j P(j). \quad (1)$$

Были использованы следующие выражения для распределения состояний первичных ядер-фрагментов по угловым моментам (см. [9] и ссылки):

$$P(J) = (2J+1)\exp(-J(J+1)/2B^2 - \lambda J), \quad (2)$$

$$P(J) = (2J+1)\exp(-J(J+1)/2(B+\mu)^2), \quad (3)$$

где  $B$  – параметр «обрезания» по спину, который вычислялся по модели ферми-газа (см. ниже). Параметры  $\lambda, \mu$  находились подгонкой экспериментальных значений изомерных отношений выходов ядер к теоретическим.

Теоретические значения изомерных отношений выходов вычислялись с помощью предложенного нами ранее варианта статистической модели [9], который является обобщением статистической модели Хьюзенга - Ванденбоша [16 - 18] без использования концепции решающего  $\gamma$ -перехода.

Такая обобщенная модель Хьюзенга - Ванденбоша основана на следующих положениях: 1) основные и изомерные состояния ядра заселяются  $\gamma$ -каскадами после вылета мгновенных нейтронов из первичного осколка фотоделения, когда термодинамическая энергия возбуждения ядра  $U$  ниже энергии отделения нейтрона  $S_n$ ; 2) так как ядро-изомер может формироваться после вылета мгновенных нейтронов с разными энергиями, то энергия возбуждения состояний

$$R = \sum_{J,\pi} \int dU \cdot \phi(U) \cdot P(J) \cdot g_m(U, J, \pi) / \sum_{j,\pi} \int dU \cdot \phi(U) \cdot P(j) \cdot g_g(U, j, \pi), \quad (4)$$

где  $g_m(U, J, \pi)$  ( $g_g(U, J, \pi)$ ) - вероятность заселения  $\gamma$ -излучением изомерного (основного) уровня из состояний с энергией возбуждения  $U$ , спином  $J$  и четностью  $\pi = \pm 1$ . Функция распределения по энергии возбуждения  $\phi(U)$  аппроксимирована ступенькой с ненулевым значением в интервале  $\Delta U = U_{\min} \div U_{\max}$  с  $U_{\min} = -0,5S_n + n\Delta_0 + E_{rot}(J)$  и  $U_{\max} = S_n + n\Delta_0 + E_{rot}(J)$ , где  $n\Delta_0$  - энергия спаривания с  $\Delta_0 = 12/\sqrt{A}$  и  $n = 2, 1, 0$  для парно-парных, парно-непарных, непарно-непарных ядер соответственно. Вращательная энергия  $E_{rot}(J)$  выбирается в виде  $E_{rot}(J) = J(J+1)/(2F)$  с моментом инерции  $F = 0,0194 A^{5/3}$  ([19], с. 96, в единицах МэВ<sup>-1</sup>). Значение параметра  $B$  в выражениях (2) и (3) вычислялось по модели Ферми-газа для сферического ядра  $B^2 = F \cdot T$  (в безразмерных единицах) с температурой  $T = \sqrt{\bar{U}/a}$  при средней энергии возбуждения  $\bar{U} = (U_{\min} + U_{\max})/2$  и параметром плотности ядерных уровней  $a = A/10$  МэВ<sup>-1</sup>.

Вероятности заселения  $g_g(U, J, \pi)$ ,  $g_m(U, J, \pi)$  вычислялись с помощью кода

перед  $\gamma$ -излучением точно не определена и задается функцией распределения по энергии возбуждения  $\phi$ ; 3) мгновенные нейтроны вылетают в основном с малыми орбитальными моментами такими, что распределение состояний по угловому моменту в ядре продукте перед  $\gamma$ -переходами незначительно отличается от  $P(J)$  в первичном ядре-фрагменте. Поэтому для расчета теоретических значений изомерных отношений используется выражение

EMPIRE 3.2 [20]. Этот код содержит и использует существующую базу данных библиотеки RIPL-3 [19] по энергиям низколежащих состояний и вероятностям  $\gamma$ -переходов, что позволяет обойтись без использования так называемого решающего  $\gamma$ -перехода метода Хьюзенга - Ванденбоша [16 - 18]. В предыдущей нашей работе [9] было показано, что расчет среднего значения углового момента осколков деления не сильно зависит от использованного при расчете вида радиационной силовой функции и плотности ядерных уровней. Поэтому при расчетах использовалось приближение модифицированного лоренциана (MLO1) для радиационной силовой функции и улучшенная обобщенная сверхтекучая модель (EGSM) для плотности ядерных уровней [19 - 22]. Остальные входные параметры были тоже взяты по умолчанию кода EMPIRE 3.2.

В табл. 2 приведены, в качестве примера, параметры  $\lambda$ ,  $\mu$  распределений по угловым моментам (2) и (3) осколков  $^{84}\text{Br}$ ,  $^{131}\text{Te}$ ,  $^{132}\text{Sb}$ ,  $^{132}\text{I}$ ,  $^{133}\text{Te}$ ,  $^{134}\text{I}$ ,  $^{135}\text{Xe}$  фотоделения ядра  $^{235}\text{U}$ . Значения были получены подгонкой методом  $\chi^2$  теоретических величин изомерных отношений к экспериментальным значениям, приведенным в табл. 1.

**Таблица 2. Значения параметров распределений угловых моментов в первичных осколках фотоделения  $^{84}\text{Br}$ ,  $^{131}\text{Te}$ ,  $^{132}\text{Sb}$ ,  $^{132}\text{I}$ ,  $^{133}\text{Te}$ ,  $^{134}\text{I}$ ,  $^{135}\text{Xe}$  для  $^{235}\text{U}$**

Ядро	Значения параметров		
	$B$	$\lambda$	$\mu$
$^{84}\text{Br}$	5,23	0,70(2)	-3,26(4)
$^{131}\text{Te}$	6,51	0,07(4)	-1,1(5)
$^{132}\text{Sb}$	6,50	0,004(24)	-0,04(45)
$^{132}\text{I}$	6,63	-0,05(3)	1,4(8)
$^{133}\text{Te}$	6,55	0,25(12)	-0,5(2)
$^{134}\text{I}$	6,67	0,15(25)	-2,0(2)
$^{135}\text{Xe}$	6,72	1,13(5)	-5,11(5)

**П р и м е ч а н и е.** В скобках указаны погрешности, которые соответствуют погрешностям измерений из табл.1. Цифры в скобках относятся к последним значащим цифрам средних значений.

Аналогично были вычислены и параметры распределений  $P(J)$  для фрагментов фотоделения ядер  $^{237}\text{Np}$  и  $^{239}\text{Pu}$ . После этого были вычислены средние угловые моменты  $\bar{J}$  первичных фрагментов. Для распределения вида (2) значения  $\bar{J}$  и их статистические погрешности приве-

дены в табл. 3 и на рис. 3. В табл. 3 цифрами в скобках после символов делящихся ядер указаны значения спинов компаунд-ядра, образующегося после поглощения (дипольного) тормозного излучения. Для распределения  $P(J)$  вида (3) результаты близки.

Таблица 3. Значения средних угловых моментов осколков деления  $\bar{J}$  в единицах  $\hbar$

Ядро	$^{235}\text{U}(2,5; 3,5; 4,5)$		$^{237}\text{Np}(1,5; 2,5; 3,5)$		$^{239}\text{Pu}(0,5; 1,5)$	
	18 МэВ	9,8 МэВ	18 МэВ	9,8 МэВ	18 МэВ	9,8 МэВ
$^{84}\text{Br}$	1,8(5)	-	1,9(5)	-	1,7(5)	-
$^{90}\text{Rb}$	-	-	2,2(6)	-	1,8(6)	-
$^{131}\text{Te}$	6,8(8)	-	5,8(7)	-	7,4(8)	7,4(8)
$^{132}\text{Sb}$	8,0(7)	5,6(5)	6,9(6)	-	8,1(6)	8,2(6)
$^{132}\text{I}$	9,6(9)	-	6,7(7)	-	5,2(6)	-
$^{133}\text{Te}$	7,6(6)	5,7(6)	10,6(7)	10,6(7)	8,4(5)	8,4(5)
$^{134}\text{I}$	5,6(6)	5,3(5)	-	5,6(6)	7,7(8)	7,7(8)
$^{135}\text{Xe}$	1,4(5)	2,0(5)	1,2(5)	1,3(5)	1,4(5)	1,5(5)

Причение. В скобках за средними значениями указаны погрешности, которые соответствуют погрешностям измерений из табл. 1. Цифры в скобках относятся к последним значащим цифрам средних значений.

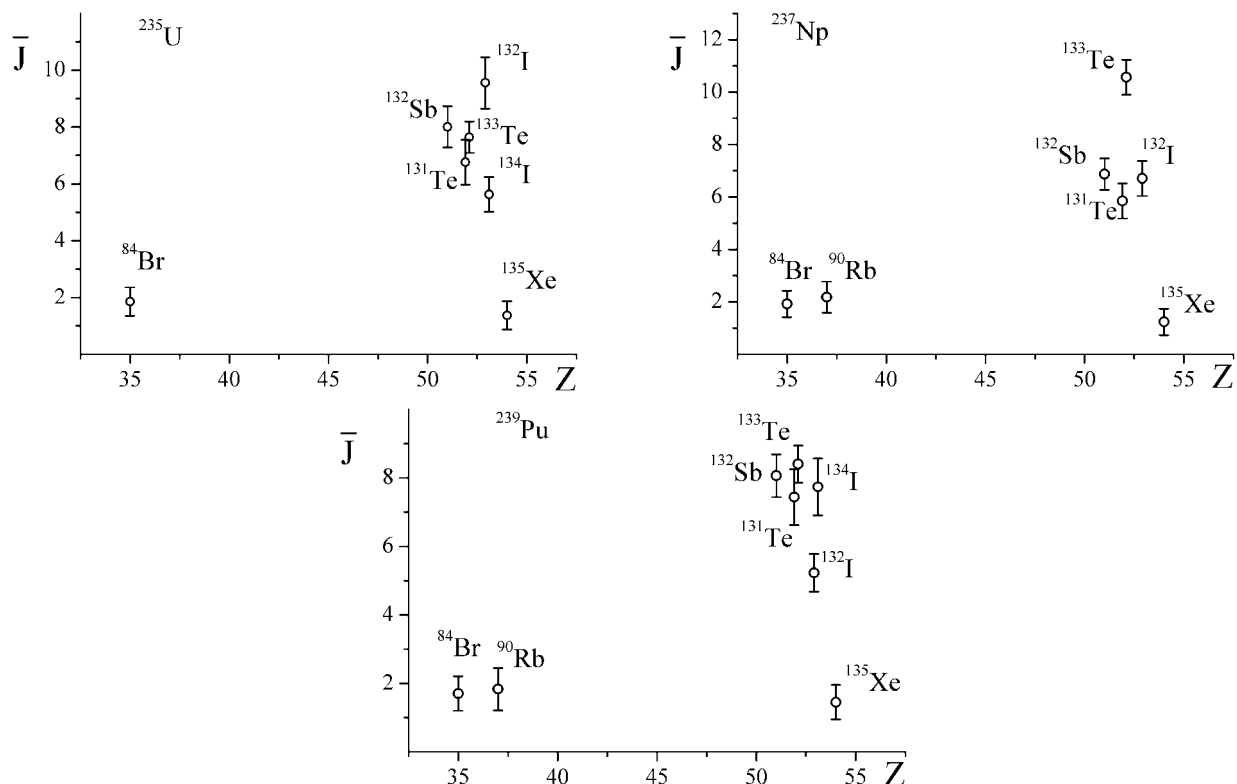


Рис. 3. Средние угловые моменты  $\bar{J}$  осколков фотоделения ядер  $^{235}\text{U}$ ,  $^{237}\text{Np}$  и  $^{239}\text{Pu}$  тормозным излучением с граничной энергией  $E_e = 18$  МэВ в зависимости от заряда осколка.

Отметим, что надежность использования обобщенной модели Хьюзенга - Ванденбоша для вычисления средних угловых моментов первичных фрагментов анализировалась в [9] (см. рис. 6). Было показано, что расчеты среднего углового момента по такой модели и статистическим подходам, которые учитывают вылет

нейтронов, близки и в рамках погрешностей согласуются между собой. Таким образом, вылет нейтронов до  $\gamma$ -каскадов хотя и искажает начальное распределение угловых моментов в первичных фрагментах деления, но в целом не приводит к существенному изменению среднего значения углового момента. Отметим, что средний угло-

вой момент, уносимый нейтронами, нами вычислен в квазиклассическом приближении в Приложении и его значение порядка  $\sim 1\hbar$ . В табл. 3 и на рис. 3 погрешность  $\bar{J}$  указана без учета искажения первичного распределения угловых моментов за счет вылета нейтронов. В соответствии с расчетами в [9] при использовании кода EMPIRE учет такого эффекта может дополнительно изменить среднее значение углового момента на  $\sim 20\%$ , что согласуется с результатами работ [23, 24].

В целом можно сделать вывод, что средние угловые моменты тяжелых фрагментов деления примерно в 3 раза больше, чем средние угловые моменты легких осколков деления, и они значительно отличаются от значений спинов делящихся ядер. Последнее указывает на наличие дополнительного механизма формирования углового момента в тяжелых фрагментах. Регулярным исключением является  $^{135}\text{Xe}$ , для которого средние угловые моменты как в реакции  $(\gamma, f)$ , так и в реакциях  $(\gamma, f) + (\gamma, nf)$  составляют величины порядка  $\sim 1,5 \hbar$ . Это указывает на то, что в этом

фрагменте дополнительный механизм формирования углового момента, по-видимому, отсутствует.

Отметим, что значение спина  $J_m = 6$  изомерного состояния для фрагмента  $^{84}\text{Br}$  определено недостаточно надежно. Поэтому в работе было проанализировано изменение вероятностей заселения  $\gamma$ -квантами основного и изомерного состояний, а также величины изомерного от изменения спина изомерного состояния  $^{84}\text{Br}$ . В приведенных ниже расчетах, кроме наиболее вероятного значения  $J_m = 6$  для изомерного уровня, использовалось и значение  $J_m = 8$ ; состояние тоже считалось нечетным.

На рис. 4 представлены зависимости от энергии возбуждения и спина начальных состояний отношений заселенности основного ( $\Delta_g$ ) и изомерного ( $\Delta_m$ ) уровней при изменении значения изомерного уровня с  $J_m^- = 6^-$  на  $J_m^- = 8^-$  в осколке  $^{84}\text{Br}$  фотodelения  $^{235}\text{U}$ :

$$\Delta_g(U, J) = \frac{\left[ \sum_{\pi} g_g(U, J, \pi; J_m = 6) - \sum_{\pi} g_g(U, J, \pi; J_m = 8) \right]}{\sum_{\pi} g_g(U, J, \pi; J_m = 6)},$$

$$\Delta_m(U, J) = \frac{\left[ \sum_{\pi} g_m(U, J, \pi; J_m = 6) - \sum_{\pi} g_m(U, J, \pi; J_m = 8) \right]}{\sum_{\pi} g_m(U, J, \pi; J_m = 6)}.$$

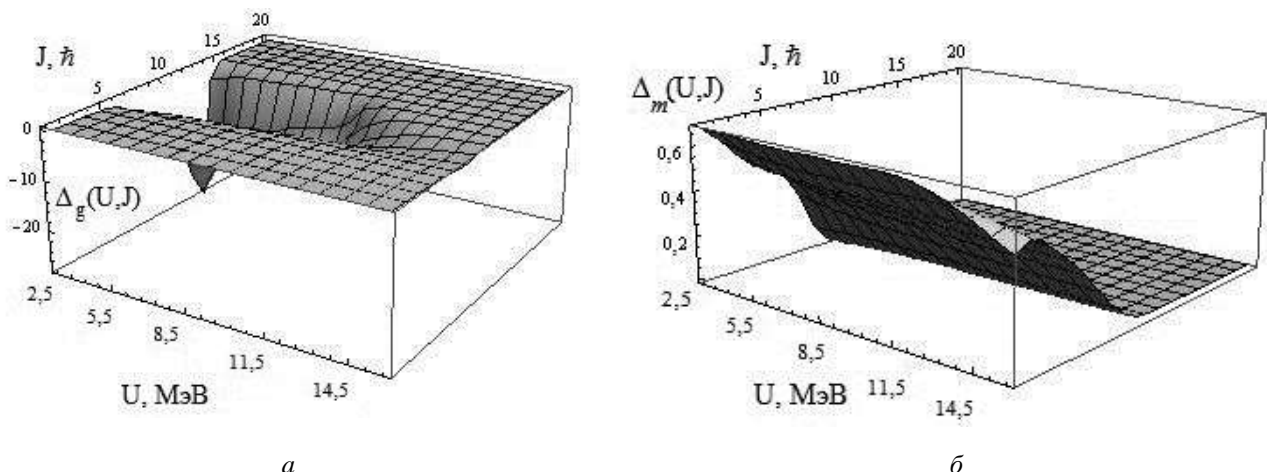


Рис. 4. Отношения заселенности основного ( $\Delta_g$ ) и изомерного ( $\Delta_m$ ) уровней при изменении значения изомерного уровня с  $6^-$  на  $8^-$  в осколке  $^{84}\text{Br}$  фотodelения  $^{235}\text{U}$  как функции энергии возбуждения и спина начальных состояний.

Из рис. 4 видно, что изменение спина изомерного состояния на  $\sim 30\%$  (с 6 на 8) может привести к изменению вероятностей заселения основного и изомерного состояний на порядок. Однако в обоих случаях для фрагмента  $^{84}\text{Br}$  можно подогнать экспериментальное значение изомерного

отношения. При этом значения среднего углового момента меняются на  $\sim 20\%$  (с  $\bar{J} = 1,9$  при  $J_m = 6$  до  $\bar{J} = 2,3$  для  $J_m = 8$ ) и в рамках погрешности согласуются между собой:  $\bar{J} = 1,9 \pm 0,5$  [ $J_m = 6$ ];  $\bar{J} = 2,3 \pm 0,5$  [ $J_m = 8$ ].

*Приложение***Квазиклассическая оценка среднего углового момента, уносимого нейтронами**

В квазиклассическом приближении непрерывных угловых моментов выражение для среднего углового момента ( $\langle l \rangle$ ), который уносят нейтроны, можно записать в виде

$$\langle l \rangle = \int_0^{\varepsilon_{\max}} w(\varepsilon) \bar{l}(\varepsilon) d\varepsilon.$$

Здесь  $\bar{l}(\varepsilon)$  - средний момент, который уносит нейtron с энергией  $\varepsilon$ ;  $w(\varepsilon)$  - вероятность вылета нейтронов с энергией  $\varepsilon$  в единичный интервал энергии. Эти величины можно вычислить, если известен спектр вылетающих нейтронов  $n(\varepsilon)$  и вероятность их распределения по угловым моментам  $p(l)$ :

$$\bar{l}(\varepsilon) = \int_0^{l_{\max}(\varepsilon)} l p(l) dl, \quad w(\varepsilon) = n(\varepsilon) / \int_0^{\varepsilon_{\max}} n(\varepsilon') d\varepsilon',$$

где  $l_{\max}(\varepsilon) = kR = \sqrt{2m_n \varepsilon / \hbar^2} \cdot R$  - максимальный угловой момент уносимый нейтроном из ядра радиуса  $R = r_0 A_F^{1/3}$  (фм) с массовым числом  $A_F$ . Используя аппроксимацию из работы [25]  $p(l) = (2l / l_{\max}^2(\varepsilon)) \cdot \Theta(l_{\max} - l)$ , имеем

$$\bar{l}(\varepsilon) = (2/3) l_{\max}(\varepsilon).$$

**Значения средних угловых моментов уносимых нейтронами из первичных осколков деления в единицах  $\hbar$** 

Ядро-фрагмент	$\langle l \rangle$		
	$^{235}\text{U}$	$^{237}\text{Np}$	$^{239}\text{Pu}$
$^{84}\text{Br}$	0,84	0,86	0,88
$^{131}\text{Te}$	0,98	1,00	1,02
$^{132}\text{Sb}$	0,98	1,00	1,02
$^{132}\text{I}$	0,98	1,00	1,02
$^{133}\text{Te}$	0,98	1,00	1,02
$^{134}\text{I}$	0,98	1,01	1,02
$^{135}\text{Xe}$	0,99	1,01	1,03

**СПИСОК ЛИТЕРАТУРЫ**

1. Vandenbosh R., Huizinga J.R. Nuclear Fission. - Academic Press, 1973. - 422 p.
2. Wagemans C. The Nuclear Fission Process. - Ed., CRC Press, Boca Raton (FL), USA, 1995. - 475 p.
3. Ahmad I., Philips W.R. Gamma rays from fission fragments // Rep. Prog. Phys. - 1995. - Vol. 58. - P. 1415 - 1463.
4. Тер-Акопян Г.М., Оганесян Ю.Ц. Даниель В.А. и др. Экспериментальные методы исследования спонтанного и низкоэнергетического деления // ЭЧАЯ. - 1997. - Т. 28. - С. 1357 - 1388.
5. Denisov V.Yu., Reshitko S.V. Mean angular momentum of nuclear-fission fragments // Phys. At. Nucl. - 1999. - Vol. 62. - P. 1806 - 1814.
6. Mikhailov I.N., Quentin P., Briancon Ch. Angular momentum of fission fragments // Ядерная физика. - 2001. - Т. 64. - С. 1185 - 1191.
7. Вишневский И.Н., Желтоножский В.А., Давидовская О.И., Саврасов А.Н. Исследование фотоделения  $^{232}\text{Th}$  и  $^{238}\text{U}$  // Изв. РАН. Сер. физ. - 2009. - Т. 73, № 6. - С. 782 - 785.
8. Бесшайко О.А., Вишневский И.Н., Желтоножский В.А. и др. Изомерные отношения и средние угловые моменты для продуктов фотоделения  $^{238}\text{U}$  и  $^{237}\text{Np}$  // Изв. РАН. Сер. физ. - 2005. - Т. 69, № 5. - С. 658 - 662.

9. Vyshnevsky I.M., Zheltonozhskii V.O., Savrasov A.M. et al. Isomer yield ratios of  $^{133}\text{Te}$ ,  $^{134}\text{I}$ ,  $^{135}\text{Xe}$  in photo-fission of  $^{235}\text{U}$  with 17 MeV bremsstrahlung // Ядерна фізика та енергетика. - 2014. - Т. 15, № 2. - С. 111 - 118.
10. Aumann D.C., Guckel W., Nirschl E., Zeising H. Independent isomeric yield ratio of  $^{148}\text{Pm}$  in fission of the moderately excited  $^{236}\text{U}$  compound nucleus as a measure of fragment angular momentum // Phys. Rev. C. - 1977. - Vol. 16. - P. 254 - 265.
11. Jacobs E., Thierens H., De Frenne D. et al. Product yields for the photofission of  $^{238}\text{U}$  with 12-, 15-, 20-, 30-, and 70-Mev bremsstrahlung // Phys. Rev. C. - 1979. - Vol. 19. - P. 422 - 432.
12. Ford G.P., Wolfsberg K., Erdal B.R. Independent yields of the isomers of  $^{133}\text{Xe}$  and  $^{135}\text{Xe}$  for neutron-induced fission of  $^{233}\text{U}$ ,  $^{235}\text{U}$ ,  $^{238}\text{U}$ ,  $^{239}\text{Pu}$ , and  $^{242}\text{Am}^m$  // Phys. Rev. C. - 1984. - Vol. 30. - P. 195 - 213.
13. Vishnevsky I.N., Denisov V.Yu., Zhetlonozhsky V.A. et al. Mean angular momenta of fragments from  $^{232}\text{Th}$  fission // Phys. At. Nucl. - 1998. - Vol. 61. - P. 1452 - 1458.
14. Хоменков В.П. Исследование атомно-ядерных эффектов в процессе внутренней конверсии гамма-лучей: автореф. дис. ... канд. физ.-мат. - К., 2003. - 19 с.
15. Вишневский И.Н., Давидовская О.И., Желтоножский В.А., Саврасов А.Н. Исследование фотоделения  $^{235}\text{U}$  и  $^{239}\text{Pu}$  // Изв. РАН. Сер. физ. - 2010. - Т. 74, № 4. - С. 538 - 541.
16. Huizenga J.R., Vandenbosh R. Interpretation of Isomeric Cross-Section Ratios for  $(n, \gamma)$  and  $(\gamma, n)$  Reactions // Phys. Rev. - 1960. - Vol. 120. - P. 1305 - 1312.
17. Vandenbosh R., Huizenga J.R. Isomeric Cross-Section Ratios for Reactions Producing the Isomeric Pair  $\text{Hg}^{197,197m}$  // Phys. Rev. - 1960. - Vol. 120. - P. 1313 - 1318.
18. Warhalek H., Vandenbosh R. Relative cross-sections for formation of the shielded isomeric pair  $^{134m}\text{Cs}$  and  $^{134}\text{Cs}$  in medium energy fission // J. Inorg. Nucl. Chem. - 1964. - Vol. 26. - P. 669 - 676.
19. Capote R., Herman M., Oblozinsky P. et al. Reference input Parameter Library (RIPL3) // Nuclear Data Sheets. - 2009. - Vol. 110. - P. 3107 - 3214; <http://www-nds.iaea.org/RIPL-3/>.
20. Herman M., Capote R., Carlson B.V. et al., EMPIRE: Nuclear Reaction Model Code System for Data Evaluation // Nuclear Data Sheets. - 2007. - Vol. 108. - P. 2655 - 2716; <http://www.nndc.bnl.gov/empire/>.
21. Plujko V.A., Gorbachenko O.M., Zhetlonozhskii V.O., Rovenskykh E.P. Average Description of Dipole Gamma-Transitions in Hot Atomic Nuclei // Nuclear Data Sheets. - 2014. - Vol. 118. - P. 237 - 239.
22. Plujko V.A., Gorbachenko O.M., Bondar B.M., Rovenskykh E.P. Nuclear level density within extended superfluid model with collective state enhancement // Nuclear Data Sheets. - 2014. - Vol. 118. - P. 240 - 243.
23. Sarantites D.G., Gordon G.E., Coryell Ch. D., De Frenne D. et al. Ratios of independent yields of the isomers  $\text{Te}^{131-131m}$  and  $\text{Te}^{133-133m}$  in fission // Phys. Rev. - 1965. - Vol. 138. - P. B353 - B364.
24. Thierens H., De Frenne D., Jacobs E. et al. Product yields for the photofission of  $^{235}\text{U}$  and  $^{238}\text{U}$  with 25-Mev bremsstrahlung // Phys. Rev. C. - 1976. - Vol. 14. - P. 1058 - 1067.
25. Alexander J.M., Simonoff G.N. Excitation functions for  $^{149}\text{Tb}$  from reactions between complex nuclei // Phys. Rev. - 1963. - Vol. 130. - P. 2383 - 2387.
26. Terrell J. Fission Neutron Spectra and Nuclear Temperatures // Phys. Rev. - 1959. - Vol. 113. - P. 527 - 541.
27. Madland D.G. Theory of neutron emission in fission // Proc. Workshop on Nuclear Reaction Data and Nuclear Reactors, ICTP (Trieste, Italy, 23 Feb. - 27 Mar., 1998) / Eds. P. Oblozinsky, A. Gandini. - Singapore: World Scientific, 1999. - P. 46 - 67.
28. Schmidt K.-H., Jurado B. Description of the fission probability with the GEF code // JEF/DOC 1423, OECD-NEA, Paris, 2012. 15 p. ([www.khs-erhausen.de](http://www.khs-erhausen.de)).
29. Chadwick M.B., Oblozinsky P., Herman M. et al. ENDF/B-VII.0: Next Generation Evaluated Nuclear Data Library for Nuclear Science and Technology // Nuclear Data Sheets. - 2006. - Vol. 107. - P. 2931 - 3060.

**І. М. Вишинський<sup>1</sup>, В. О. Желтоножський<sup>1</sup>, В. А. Плюйко<sup>2</sup>, А. М. Саврасов<sup>1</sup>,  
О. М. Горбаченко<sup>2</sup>, О. І. Давидовська<sup>1</sup>, Е. П. Ровенських<sup>2</sup>**

<sup>1</sup> Інститут ядерних досліджень НАН України, Київ

<sup>2</sup> Київський національний університет імені Тараса Шевченка, Київ

## ІЗОМЕРНІ ВІДНОШЕННЯ ТА СЕРЕДНІ КУТОВІ МОМЕНТИ ФРАГМЕНТІВ ФОТОПОДІЛУ $^{235}\text{U}$ , $^{237}\text{Np}$ ТА $^{239}\text{Pu}$

Досліджено ізомерні відношення виходів фрагментів фотоподілу ядер  $^{235}\text{U}$ ,  $^{237}\text{Np}$  та  $^{239}\text{Pu}$  гальмівними  $\gamma$ -квантами з максимальною енергією 18 MeВ. Отримано нові дані з виходів ізомерних пар ядер  $^{84}\text{Br}$ ,  $^{90}\text{Rb}$ ,  $^{131}\text{Te}$ ,  $^{132}\text{Sb}$ ,  $^{132}\text{I}$ ,  $^{133}\text{Te}$ ,  $^{134}\text{I}$ ,  $^{135}\text{Xe}$ . Ізомерні відношення отримано з відніманням внеску від заселення станів досліджуваних фрагментів від  $\beta$ -розпаду відповідних ізобарних ядер. Визначено середні кутові моменти фрагментів поділу в рамках узагальненої статистичної моделі Хьюзенга - Ванденбоша з використанням коду EMPIRE 3.2.

**Ключові слова:** фотоподіл, метод ізомерних відношень, середні кутові моменти продуктів поділу.

**I. M. Vyshnevskyi<sup>1</sup>, V. O. Zheltonozhskyi<sup>1</sup>, V. A. Plujko<sup>2</sup>, A. M. Savrasov<sup>1</sup>,  
O. M. Gorbachenko<sup>2</sup>, O. I. Davydovska<sup>1</sup>, E. P. Rovenskykh<sup>2</sup>**

<sup>1</sup> Institute for Nuclear Research, National Academy of Sciences of Ukraine, Kyiv

<sup>2</sup> Taras Shevchenko National University, Kyiv

### ISOMERIC YIELD RATIOS AND MEAN ANGULAR MOMENTA OF PHOTOFISSION FRAGMENTS OF $^{235}\text{U}$ , $^{237}\text{Np}$ AND $^{239}\text{Pu}$

Isomeric yield ratios for the fragments of photofission  $^{235}\text{U}$ ,  $^{237}\text{Np}$  and  $^{239}\text{Pu}$  by bremsstrahlung with end-point energy of 18 MeV are measured. New data for isomeric yield ratios of the fragments  $^{84}\text{Se}$ ,  $^{90}\text{Br}$ ,  $^{131}\text{Te}$ ,  $^{132}\text{Sb}$ ,  $^{132}\text{I}$ ,  $^{133}\text{Te}$ ,  $^{134}\text{I}$ ,  $^{135}\text{Xe}$  are determined. The contributions to the isomeric yield ratios from  $\beta$ -decay of the nuclei of parent isobaric chain were removed. Mean angular momenta of studied nuclei are estimated within the framework of an extended Huizenga - Vandenbosh statistical model with using EMPIRE 3.2 code.

**Keywords:** photofission, isomeric ratios method, average angular momenta of fission products.

### REFERENCES

1. *Vandenbosh R., Huizenga J.R.* Nuclear Fission. - Academic Press, 1973. - 422 p.
2. *Wagemans C.* The Nuclear Fission Process. - Ed., CRC Press, Boca Raton (FL), USA, 1995. - 475 p.
3. *Ahmad I., Philips W.R.* Gamma rays from fission fragments // Rep. Prog. Phys. - 1995. - Vol. 58. - P. 1415 - 1463.
4. *Ter-Akopyan G.M., Oganesyan Yu.Ts. Daniel' V.A. et al.* // EChAYa. - 1997. - Vol. 28. - P. 1357 - 1388. (Rus)
5. *Denisov V.Yu., Reshitko S.V.* Mean angular momentum of nuclear-fission fragments // Phys. At. Nucl. - 1999. - Vol. 62. - P. 1806 - 1814.
6. *Mikhailov I.N., Quentin P., Briancon Ch.* Angular momentum of fission fragments // Ядерная физика. - 2001. - T. 64. - C. 1185 - 1191.
7. *Vishnevskij I.N., Zheltonozhskij V.A., Davidovskaya O.I., Savrasov A.N.* // Izv. RAN. Ser. fiz. - 2009. - Vol. 73, No. 6. - P. 782 - 785. (Rus)
8. *Bessheiko O.A., Vishnevskij I.N., Zheltonozhskij V.A. et al.* // Izv. RAN. Ser. fiz. - 2005. - Vol. 69, No. 5. - P. 658 - 662. (Rus)
9. *Vyshnevsky I.M., Zheltonozhskii V.O., Savrasov A.M. et al.* Isomer yield ratios of  $^{133}\text{Te}$ ,  $^{134}\text{I}$ ,  $^{135}\text{Xe}$  in photofission of  $^{235}\text{U}$  with 17 MeV bremsstrahlung // Ядерна фізика та енергетика. - 2014. - T. 15, № 2. - C. 111 - 118.
10. *Aumann D.C., Guckel W., Nirschl E., Zeising H.* Independent isomeric yield ratio of  $^{148}\text{Pm}$  in fission of the moderately excited  $^{236}\text{U}$  compound nucleus as a measure of fragment angular momentum // Phys. Rev. C. - 1977. - Vol. 16. - P. 254 - 265.
11. *Jacobs E., Thierens H., De Frenne D. et al.* Product yields for the photofission of  $^{238}\text{U}$  with 12-, 15-, 20-, 30-, and 70-Mev bremsstrahlung // Phys. Rev. C. - 1979. - Vol. 19. - P. 422 - 432.
12. *Ford G.P., Wolfsberg K., Erdal B.R.* Independent yields of the isomers of  $^{133}\text{Xe}$  and  $^{135}\text{Xe}$  for neutron-induced fission of  $^{233}\text{U}$ ,  $^{235}\text{U}$ ,  $^{238}\text{U}$ ,  $^{239}\text{Pu}$ , and  $^{242}\text{Am}^m$  // Phys. Rev. C. - 1977. - Vol. 16. - P. 254 - 265.
13. *Vishnevsky I.N., Denisov V.Yu., Zheltonozhsky V.A. et al.* Mean angular momenta of fragments from  $^{232}\text{Th}$  fission // Phys. At. Nucl. - 1998. - Vol. 61. - P. 1452 - 1458.
14. *Khomenkov V.P.* Atomic-nuclear effects research in the process of internal conversion of gamma rays: Thesis Ph. D. abstract. - Kyiv., 2003. - 19 p. (Rus)
15. *Vishnevskij I.N., Davidovskaya O.I., Zheltonozhskij V.A., Savrasov A.N.* // Izv. RAN. Ser. fiz. - 2010. - Vol. 74, No. 4. - P. 538 - 541. (Rus)
16. *Huizenga J.R., Vandenbosh R.* Interpretation of Isomeric Cross-Section Ratios for  $(n, \gamma)$  and  $(\gamma, n)$  Reactions // Phys. Rev. - 1960. - Vol. 120. - P. 1305 - 1312.
17. *Vandenbosh R., Huizenga J.R.* Isomeric Cross-Section Ratios for Reactions Producing the Isomeric Pair  $\text{Hg}^{197,197m}$  // Phys. Rev. - 1960. - Vol. 120. - P. 1313 - 1318.
18. *Warhalek H., Vandenbosh R.* Relative cross-sections for formation of the shielded isomeric pair  $^{134m}\text{Cs}$  and  $^{134}\text{Cs}$  in medium energy fission // J. Inorg. Nucl. Chem. - 1964. - Vol. 26. - P. 669 - 676.
19. *Capote R., Herman M., Oblozinsky P. et al.* Reference input Parameter Library (RIPL3) // Nuclear Data Sheets. - 2009. - Vol. 110. - P. 3107 - 3214; <http://www-nds.iaea.org/RIPL-3/>.
20. *Herman M., Capote R., Carlson B.V. et al.*, EMPIRE: Nuclear Reaction Model Code System for Data Evaluation // Nuclear Data Sheets. - 2007. - Vol. 108. - P. 2655 - 2716; <http://www.nndc.bnl.gov/empire/>.
21. *Plujko V.A., Gorbachenko O.M., Zheltonozhskii V.O., Rovenskykh E.P.* Average Description of Dipole Gamma-Transitions in Hot Atomic Nuclei // Nuclear Data Sheets. - 2014. - Vol. 118. - P. 237 - 239.
22. *Plujko V.A., Gorbachenko O.M., Bondar B.M., Rovenskykh E.P.* Nuclear level density within extended superfluid model with collective state enhancement // Nuclear Data Sheets. - 2014. - Vol. 118. - P. 240 - 243.
23. *Sarantites D.G., Gordon G.E., Coryell Ch. D., De*

- Frenne D. et al. Ratios of independent yields of the isomers  $\text{Te}^{131-131m}$  and  $\text{Te}^{133-133m}$  in fission // Phys. Rev. - 1965. - Vol. 138. - P. B353 - B364.
24. Thierens H., De Frenne D., Jacobs E. et al. Product yields for the photofission of  $^{235}\text{U}$  and  $^{238}\text{U}$  with 25-Mev bremsstrahlung // Phys. Rev. C. - 1976. - Vol. 14. - P. 1058 - 1067.
25. Alexander J.M., Simonoff G.N. Excitation functions for  $^{149}\text{Tb}$  from reactions between complex nuclei // Phys. Rev. - 1963. - Vol. 130. - P. 2383 - 2387.
26. Terrell J. Fission Neutron Spectra and Nuclear Temperatures // Phys. Rev. - 1959. - Vol. 113. - P. 527 - 541.
27. Madland D.G. Theory of neutron emission in fission // Proc. Workshop on Nuclear Reaction Data and Nuclear Reactors, ICTP (Trieste, Italy, 23 Feb. - 27 Mar., 1998) / Eds. P. Oblozinsky, A. Gandini. - Singapore: World Scientific, 1999. - P. 46 - 67.
28. Schmidt K.-H., Jurado B. Description of the fission probability with the GEF code // JEF/DOC 1423, OECD-NEA, Paris, 2012. 15 p. ([www.khs-erzhausen.de](http://www.khs-erzhausen.de)).
29. Chadwick M.B., Oblozinsky P., Herman M. et al. ENDF/B-VII.0: Next Generation Evaluated Nuclear Data Library for Nuclear Science and Technology // Nuclear Data Sheets. - 2006. - Vol. 107. - P. 2931 - 3060.

Надійшла 22.01.2015  
Received 22.01.2015